

6. Томсонс Я. Я. и др. Комплекс аппаратурных и программных средств для определения характеристики доплеровского сигнала.— Автометрия, 1981, № 4.
7. Ishizu J., Ohta K., Okada T. Changes in the Particle Size and Concentration of Cigarette Smoke through the Column of a Cigarette.— J. Aerosol Sci., 1978, vol. 9, p. 25—29.
8. Ruedy R. Absorption of Light Heat Radiation by Small Spherical Particles.— Can. J. of Research. Ser. A, 1942, vol. 20, N 3.
9. Сой С. Гидродинамика многофазных систем.— М.: Мир, 1971.
10. Гродзевский Г. Л. О движении мелких частиц в газовом потоке.— Ученые записки ЦАГИ, 1974, т. 5, № 2.
11. Сэфмен П. Г. Подъемная сила малой сферы при медленном течении сдвига.— Механика, 1966, № 1.
12. Багрянцев В. И., Кислых В. И. Нарушение разделения мелких частиц в вихревой камере.— Изв. СО АН СССР. Сер. техн. наук, 1980, вып. 1.
13. Сухович Е. П. Аэродинамика вихревой камеры.— Изв. АН ЛатвССР. Сер. физ. и техн. наук, 1969, № 4.
14. Уормли. Аналитическая модель несжимаемого потока в коротких вихревых камерах.— Теор. основы инж. расчетов, 1969, № 2, с. 145.
15. Розенцвейг, Левелен, Росс. Ограничные вихревые течения при взаимодействии с пограничным слоем.— Ракетная техника и космонавтика, 1964, с. 94—103.
16. Деветирова М. И., Михайлов П. М. О влиянии геометрии вихревой камеры на торцевые перетечки.— Труды ЛПИ. Сер. Энергомашостроение, 1960, вып. 310.
17. Kotas T. J. Turbulent Boundary Layer Flow on the End Wall of Cylindrical Vortex Chamber.— Heat and Fluid Flow, 1975, vol. 5, N 2.

*Поступила в редакцию 26 января 1981 г.;
окончательный вариант — 4 октября 1981 г.*

УДК 535.338.334 : 538.4

А. Н. КОРОТКОВ, С. И. КРУГЛЫЙ, А. П. НЕФЕДОВ
(Москва)

ЛАЗЕРНЫЙ ДОПЛЕРОВСКИЙ АНЕМОМЕТР ДЛЯ ДИАГНОСТИКИ ПОТОКА ПЛАЗМЫ ПРОМЫШЛЕННОЙ МГД-УСТАНОВКИ

Работы по МГД-преобразованию энергии потребовали создания методов и средств диагностики высокотемпературных высокоскоростных потоков плазмы в присутствии электрических и магнитных полей. Важными параметрами потока рабочего тела МГД-генератора являются температура, электропроводность, концентрация заряженных частиц и скорость потока. Удельная электрическая мощность, снимаемая с генератора, пропорциональна скорости среды, поэтому необходимо знание распределений скорости и интенсивности турбулентности потока по сечению канала. Экспериментальное определение указанных физических параметров особенно актуально на этапе разработки МГД-генераторов промышленного типа, так как это позволяет проверить существующие теоретические и расчетные модели.

Методы лазерной анемометрии для диагностики потока в МГД-генераторах малых размеров успешно применялись в Стэнфордском университете [1—3]. Для измерений в приэлектродном пограничном слое использовался однолучевой анемометр с обратным рассеянием [1], а исследование пограничного слоя около изоляционной стенки проводилось лазерным анемометром, построенным по дифференциальной схеме с рассеянием вперед [2].

Лазерный анемометр для диагностики потока плазмы в больших МГД-установках (типа установки У-25 [4]) должен удовлетворять следующим требованиям: диапазон измеряемых скоростей до 1000 м/с; работа в условиях большой фоновой засветки, так как температура плазмы

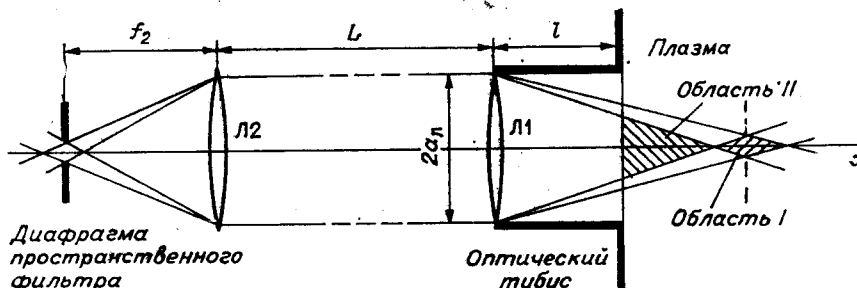


Рис. 1.

достигает 3000 К и имеются светящиеся частицы; зондирование на большую глубину потока (более 1 м); регистрация рассеянного излучения малой мощности, так как концентрация рассеивающих частиц низка; работа в условиях вибрации и в присутствии магнитного поля; необходимость дистанционного сбора информации, контроля и управления системой. Отметим также сложность доступа к потоку и введения в него рассеивающих частиц.

Предлагаемая нами система лазерного доплеровского анемометра (ЛДА) была разработана с учетом названных выше требований. Для анализа условий работы системы регистрации лазерного анемометра оценим мощность фоновой засветки и полезного сигнала. Пусть зондирование потока осуществляется на длине волны 488 нм. Как показали спектроскопические измерения, вблизи этой длины волны отсутствуют спектральные линии в плазме продуктов горения, а тормозное излучение пренебрежимо мало по сравнению с излучением частиц. Поэтому мощность фонового излучения (P_ϕ) высокотемпературного потока, содержащего частицы, можно определить по следующей формуле:

$$P_\phi = \varepsilon(\lambda) E(\lambda, T) S \Delta \lambda \Omega, \quad (1)$$

где $E(\lambda, T)$ — спектральная плотность абсолютно черного тела, S — площадь излучающей поверхности, Ω — телесный угол, $\Delta \lambda$ — интервал длин волн, в которых регистрируется фоновое излучение. Монохроматическая степень черноты облака частиц

$$\varepsilon(\lambda) = 1 - e^{-\alpha V x}. \quad (2)$$

Здесь $\alpha = 0,57/\lambda$ — монохроматический коэффициент поглощения, V — объемная доля частиц, x — эффективная толщина облака частиц.

Запишем уравнение (1) в дифференциальной форме для облака частиц толщиной dx и площадью dS , находящегося на расстоянии x от границы плазмы:

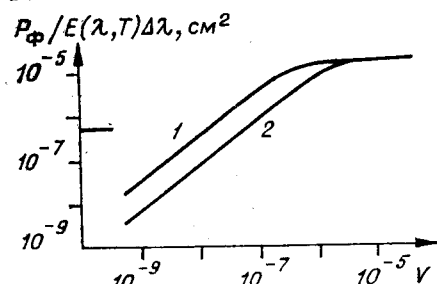
$$dP_\phi = \alpha E(\lambda, T) \Delta \lambda e^{-\alpha V x} \Omega(x) dS dx. \quad (3)$$

Телесный угол $\Omega(x)$, в котором собирается фоновое излучение частиц, определим с учетом наличия пространственного фильтра в оптической схеме лазерного анемометра. Оптическая схема, показана на рис. 1.

В приближении геометрической оптики пространство перед собирающей линзой Л1 с фокусным расстоянием f_1 можно разбить на две области. В области I (область наблюдаемого объема) излучение частиц собирается в телесном угле, определяемом апертурой линзы Л1:

$$\Omega_1(x) = \pi a_{\text{л}}^2 f_1^2 / [L f_1 + (f_1 - L)x]^2, \quad (4)$$

$a_{\text{л}}$ — радиус линзы, L — расстояние между линзами. В области II $\Omega(x)$



есть угол, под которым из излучающего элемента видна область I :

$$\Omega_2(x) = \pi(a_d f_1 / f_2)^2 (1/(f_1 - x)^2), \quad (5)$$

где a_d — радиус диафрагмы пространственного фильтра, f_2 — фокусное расстояние линзы Л2.

Здесь пренебрегаем зависимостью $\Omega_1(x)$ и $\Omega_2(x)$ от расстояния между точечным источником и оптической осью системы, а также излучением вне областей I и II . Это допущение не приведет к заметной ошибке, если апертура собирающей линзы Л1 мала, т. е. $\pi a_d^2/f_1^2 \ll 1$. Отсюда регистрируемое фоновое излучение от самосветящихся частиц равно

$$P_\Phi = \int_{\text{обл. I}} E(\lambda, T) \Delta\lambda \alpha e^{-\alpha x} \Omega_1(x) dv + \int_{\text{обл. II}} E(\lambda, T) \Delta\lambda \alpha e^{-\alpha x} \Omega_2(x) dv. \quad (6)$$

Вычисление интегралов в (6) проводилось на ЭВМ, так как аналитическое решение содержит ряды и малопригодно для оценок. Из результатов расчетов следует, что при любых возможных концентрациях частиц фоновое излучение области I много меньше излучения области II , т. е. регистрируется фон от частиц, находящихся между измерительным объемом и границей высокотемпературного потока. На рис. 1 представлена зависимость от объемной концентрации частиц ($V = (4\pi/3)r_0^3 n$) мощности фонового излучения (P_Φ), приведенного к спектральному интервалу, в котором происходит регистрация (диаметр диафрагмы 0,1 мм, кривая $1 - f_1 = 3$ м, $2 - f_1 = 1$ м).

Насыщение P_Φ при объемной концентрации частиц, большей некоторого значения, объясняется тем, что вследствие переизлучения вклад в фоновое излучение от частиц, находящихся от границы дальше некоторого расстояния, становится пренебрежимо малым.

В установке У-25 рассеивающими частицами могут быть естественным образом присутствующие в потоке частицы сажи. Показатель преломления сажи (углерода) в видимом диапазоне длин волн имеет комплексное значение, причем его действительная и мнимая части сравнимы ($m = 1,6 - i0,66$) [5]. Теоретические расчеты и оценки коэффициента рассеяния в этом случае крайне затруднены. Положение усложняется условием рассеяния назад. Строгое решение задачи рассеяния в рамках теории Ми указывает на то, что коэффициент рассеяния является сильно осциллирующей функцией размеров частиц. Мощность излучения, рассеиваемая частицей, находящейся в центре измерительного объема, по порядку величины равна [6]

$$P_{\text{pac}} = (2P_0/\pi a_0^2) (\Omega_1/4\pi) (10^{-2}\pi r_0^2). \quad (7)$$

Здесь r_0 — радиус частицы, a_0 — радиус перетяжки зондирующего пучка мощностью P_0 на уровне $1/e^2$, Ω_1 — телесный угол, в котором собирается излучение. Коэффициент 10^{-2} учитывает неравномерность индикаторы при рассеянии назад. Например, для величин $a_0 = 10$ мкм, $r_0 = 2,5$ мкм, $\Omega_1 = 10^{-3}$ и $P_0 = 100$ мВт мощность рассеянного излучения составит $P_{\text{pac}} \sim 10^{-8}$ Вт. При этом для оптической схемы, показанной на рис. 1, с параметрами $f_1 = 1$ м, $L = l = 0,5$ м, $f_2 = 0,1$ м, $a_d = 25$ мм, $a_d = 50$ мкм и $\Delta\lambda = 2$ нм при температуре потока $T = 2800$ К и концентрации частиц $n = 10^3$ см $^{-3}$ мощность фонового излучения оказывается такого же порядка.

Схема анометра показана на рис. 2. Излучение аргонового лазера, работающего в одночастотном режиме, через зеркала $M1$ и $M2$ передается на линзу Л1, фокусирующую зондирующий пучок в исследуемую точку потока. Угол между направлением зондирования и осью канала 60° . Рассеянное излучение собирается этой же линзой, проходит диафрагму пространственного фильтра и направляется в барокамеру с эталоном Фабри — Перо (БЭФП). Далее с помощью объектива (линзы Л3 и Л4) и по-

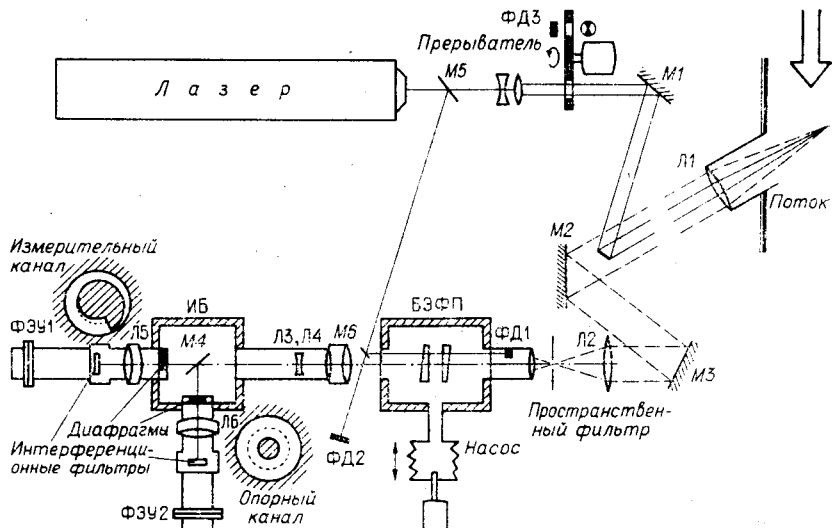


Рис. 2.

лупрозрачного зеркала M_4 формируются два изображения интерференционных колец. В плоскости изображений находятся специальные «маски». Излучение, прошедшее через эти «маски», линзами L_5 и L_6 фокусируется на фотокатоды фотоумножителей, работающих в режиме счета отдельных фотонов.

Конструктивно система регистрации состоит из двух блоков: барокамеры с насосом для стабилизации эталона Фабри — Перо и измерительного блока (ИБ). Первый блок позволяет путем изменения давления в барокамере подстраивать размеры интерференционных колец под размеры «масок». Насос изготовлен из нескольких медных сильфонов, длина которых изменяется с помощью реверсивного двигателя. Насос обеспечивает перестройку эталона более чем на два интерференционных порядка. Для контроля настройки эталона служит схема из полупрозрачных зеркал M_5 и M_6 и фотодиодов ΦD_1 и ΦD_2 . Незначительная доля лазерного излучения, отводимая зеркалом M_5 , разделяется зеркалом M_6 на два луча. Первый направляется через эталон на фотодиод ΦD_1 , второй попадает на фотодиод ΦD_2 . После подстройки интерференционных колец под размеры «масок» отношение сигналов этих фотодиодов фиксируется и затем с помощью насоса поддерживается постоянным в течение всех измерений.

Внутри корпуса измерительного блока находятся рамки для крепления «масок» и полупрозрачного зеркала M_4 . Имеется возможность независимой юстировки каждой рамки. Фотоумножители (ФЭУ-79) помещены в специальные контейнеры с защитой от магнитного поля. В этих же контейнерах находятся импульсные усилители.

В измерительном устройстве используется эталон Фабри — Перо ИТ-51-30 с плоско-параллельными зеркалами. Расстояние между зеркалами выбирается из условия равенства максимального доплеровского сдвига и области свободной дисперсии. Контур «маски»-диафрагмы измерительного канала в полярной системе координат описывается уравнением

$$r = (\varphi r_1 / 4\pi) (1 - r_0^2 / r_1^2) + r_0 \sqrt{1 + (\varphi (r_1^2 - r_0^2) / 4\pi r_1 r_0)^2},$$

где r_0 и r_1 — радиусы первых двух колец, соответствующих несдвинутой лазерной частоте. Диафрагма опорного канала пропускает излучение измеряемого кольца полностью, и поэтому частное от деления сигналов двух каналов пропорционально доплеровскому сдвигу частоты и не зависит от флуктуаций мощности рассеянного излучения.

Регистрация оптических сигналов происходит в режиме счета фотопов, для обработки использован метод цифрового синхронного детектирования. Электрические импульсы, снимаемые с фотоумножителей при регистрации отдельных фотонов, после усиления подаются на два идентичных реверсивных счетчика (один — измерительный канал, другой — опорный). Зондирующий лазерный пучок модулируется прерывателем. Когда пучок открывается, по сигналу с фотодиода ФДЗ оба счетчика начинают накапливать информацию по каждому из каналов: регистрируется рассеянное излучение плюс фоновая засветка. Когда луч перекрыт, в счетчиках происходит вычитание фоновой засветки. При достижении наперед заданного числа импульсов в опорном канале и окончании интервала, когда пучок перекрыт, счет прекращается и результаты высчитываются на двух световых табло.

Выход информации обеспечивается в цифровом виде, что дает возможность подключать ЛДА к ЭВМ. Контроль и управление лазерным доплеровским анемометром осуществляются дистанционно (расстояние от места установки прибора до места сбора информации ~ 100 м).

Описанная система регистрации была опробована в условиях действующей установки У-25. Измерялась мощность фонового излучения плазмы. Измеренная мощность, приведенная к плотности интенсивности абсолютно черного тела (см. рис. 1), оказалась равной $(1-6) \cdot 10^{-7}$ см 2 . Согласно сделанным ранее оценкам, этому значению соответствует объемная концентрация частиц $\sim 10^{-7}$. Если диаметр частиц положить равным 5 мкм, то их концентрация составит 10 3 см $^{-3}$.

ЛИТЕРАТУРА

1. Self S. A. Laser Doppler Anemometer for Boundary Layers.— Proc. 14-th Symp. on Engineering Aspects of Magnetohydrodynamics, Tullahoma, Tennessee, April, 1974, p. V 8.
2. Rankin R. R., Self S. A., Eustis R. H. A Study of the MHD-Insulating Wall Boundary Layer.— In: Proc. 16-th Symp. on Engineering Aspects of Magnetohydrodynamics, Pittsburgh, Pennsylvania, May 16—18, 1977, p. VI 3.13.
3. Селф С. А., Крюгер К. Х. Методы диагностики течений продуктов сгорания в МГД-каналах.— РТК, 1978, № 5.
4. Кириллин В. А., Шейндлин А. Е. Некоторые итоги исследования энергетической МГД-установки У-25.— ТВТ, 1974, т. 12, № 2.
5. Van de Hulst. Рассеяние света малыми частицами.— М.: ИЛ, 1961.
6. Кулыбин В. М., Ринкевичюс Б. С. Применение аргонового лазера для исследования скорости в пламенах.— ТВТ, 1973, т. 11, № 3.

Поступила в редакцию 26 января 1981 г.

УДК 621.378.525.532.51

П. Я. БЕЛОУСОВ, Ю. Н. ДУБНИЩЕВ, А. Р. ЕВСЕЕВ

(Новосибирск)

ИССЛЕДОВАНИЕ ХАРАКТЕРИСТИК ЛАМИНАРНО-ТУРБУЛЕНТНОГО ПЕРЕХОДА МНОГОКАНАЛЬНЫМ ЛАЗЕРНЫМ АНЕМОМЕТРОМ

Экспериментальные исследования структуры турбулентных потоков показали наличие флуктуаций скорости, которые не носят случайного (турбулентного) характера, а связаны с обтеканием и взаимодействием крупномасштабных вихревых структур, называемых когерентными [1—3]. Наиболее информативным методом исследования таких структур является регистрация в опытах мгновенного профиля скорости с последующим анализом на ЭВМ. В статье описывается метод измерения мгновенного